

- 6) 神原, 萩原, 藤田: 鉄と鋼, 54(1968)3, S 279  
 7) 佐々木, 中沢: 鉄と鋼, 54(1968), p. 1217  
 8) A. MUAN and E. F. OSBORN: Phase Diagrams for Ceramists, ed. by E. M. LEVIN, (1964) p. 288 [Am. Ceram. Soc]  
 9) ibid.

# 669.184.244.66.001.57:669.184.242. 純酸素上吹転炉の数学的モデル\*

浅井滋生\*\*・鞭

巖\*\*\*

## Mathematical Model of Oxygen Top Blowing Converter

Shigeo ASAI and Iwao MUCHI

### Synopsis:

In order to predict the variations of the process variables caused with the progress of blowing oxygen in LD converter, mathematical model for oxygen absorption accompanied by the simultaneous reactions in connection with carbon, silicon and iron existing in the neighborhood of cavity in steel bath has been developed in this work.

By use of this model, the changes of temperatures and compositions of steel bath and waste gas, and those of evolution rate of waste gas can be estimated.

Numerical calculations based on this model under various operating conditions have been conducted with the aid of digital computer (HITAC 5020E), and from comparison of estimations with empirical results obtained by other investigators in LD converter of 150 t the authors have believed that this model may be used for prediction of behaviors of process variables.

(Received July 1, 1968)

### 1. 緒 言

純酸素上吹転炉の操業では、終点時での浴内炭素濃度や鋼浴温度を的確に予知することが重要になるが、そのためには、吹鍊経過時間に伴う脱炭反応の推移や鋼浴温度の変化を操業条件に基づいて予知できるような数学的モデルの確立が望まれる。

筆者らは、LD転炉の操業改善に有用な基礎資料を得るために、以前に発表した炉内反応のモデル<sup>1)</sup>、および凹み周辺でのガス流の挙動に関する理論<sup>2)</sup>の一部をそれぞれ修正し、さらに生石灰活性率、排ガスの組成と流量と温度、および、溶鋼温度などの推算法を加味して、LD転炉の数学的モデルを展開した。

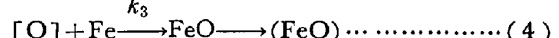
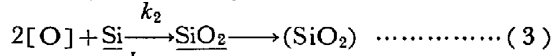
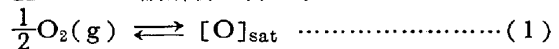
なお、この数学的モデルに基づいて、適当に設定した操業条件のもとで、電子計算機（東京大学の HITAC 5020E）によって数値計算を行ない、吹鍊時間の経過に伴つて起こる種々のプロセス変数の変化を推算した結果も本報に示したが、実際操業での測定例と比較すると、プロセス変数の推移の傾向とかなりよい一致が得られているものと推察される。

### 2. 解 析

#### 2.1 凹み界面での脱炭・脱ケイ素、酸化鉄生成反応

脱炭反応を主体とする炉内反応については、従来、多くの研究が発表されているが、本報では、数学的モデルに組み込んだ場合に計算が困難にならないように反応機構を以下に述べるように単純化して考えた。

すなわち、ガス側での物質移動抵抗は無視できるとし、脱炭反応は凹み界面で起こるとみなして、次の反応機構に基づいた理論解析を行なう。



(1)式はガス側の抵抗を無視した場合に書ける。(2)～(4)式の反応は、浴内から鋼浴の運動に伴つて凹み面に現われてくる炭素、ケイ素、および鉄が、それぞれ、凹みのガス・メタル接触面に吸収された酸素[O]と同時に反応することを示している。(1)～(4)式に基づいて凹み表面に現われる溶鋼の微小な素片内で、酸素、炭素、ケイ素、鉄について物質収支を行なうと、(5)～(8)式

\* 昭和43年4月本会講演大会にて発表

昭和43年7月1日受付

\*\* 名古屋大学工学部

\*\*\* 名古屋大学工学部 工博



ケイ素が酸素吸収に及ぼす影響は炭素に比べて小さいとみなし、 $C_{Ci} \approx C_{Cb}$  とする。このように考えると、非定常並発反応の反応係数 $\beta$ は、(20), (23)式から(24)式のように求められる。

$$\beta = \left( \frac{\gamma_3'}{2} + \frac{\pi}{4\gamma_3'} \right) \operatorname{erf} \left( \frac{\gamma_3'}{\sqrt{\pi}} \right) + \frac{1}{2} \exp \left( -\frac{\gamma_3'^2}{\pi} \right) \quad \dots \dots \dots (24)$$

ただし、 $\gamma_3'$

$$= \sqrt{\pi k_1 ((1-\beta)C_{Ai} + C_{Bb} + (k_2/k_1)C_{Cb} + (k_3/k_1)C_{Dbb}) t_e} \quad (24)$$

(24)式は両辺に反応係数 $\beta$ を含んでおり、 $\beta$ に関しての超越方程式となつていて、試行錯誤計算が必要になる。 $\beta$ が求められると、 $\bar{N}_A$  は(25)式から得られる。

$$\bar{N}_A = \beta \cdot 2\sqrt{D/\pi t_e} \cdot C_{Ai} \quad \dots \dots \dots (25)$$

(25)式に従つて微小素片に吸収された酸素は、平均接觸時間 $t_e$ 後に、再び鋼浴本体へもどる。その際、吸収された酸素[O]は、鋼浴中で(2), (3), (4)式の各反応に分配消費されるが、それら各酸素の比率は(26), (27), (28)式で表わされると考える。

$$\sigma_1 = k_1 C_{Bb} / (k_1 C_{Bb} + k_2 C_{Cb} + k_3 C_{Dbb}) \quad \dots \dots \dots (26)$$

$$\sigma_2 = k_2 C_{Cb} / (k_1 C_{Bb} + k_2 C_{Cb} + k_3 C_{Dbb}) \quad \dots \dots \dots (27)$$

$$\sigma_3 = k_3 C_{Dbb} / (k_1 C_{Bb} + k_2 C_{Cb} + k_3 C_{Dbb}) \quad \dots \dots \dots (28)$$

鋼浴内での炭素とケイ素の濃度の吹鍊時間 $\theta$ に伴う変化は、(25)式と(26)～(28)式から(29), (30)式のように表わされる。

$$d(WC_{Bb}/\rho_L)/d\theta = -\sigma_1 \bar{N}_A \int_0^{x_e} A(x) dx \quad \dots \dots \dots (29)$$

$$d(WC_{Cb}/\rho_L)/d\theta = -(1/2) \sigma_2 \bar{N}_A \int_0^{x_e} A(x) dx \quad \dots \dots \dots (30)$$

ここで、 $A(x)$  は(31)式によつて定義される関数であり、

$$A(x) \equiv 4\pi ax\sqrt{x^2 + (1/2a)^2} \quad [m] \quad \dots \dots \dots (31)$$

凹みの半径 $X_e$  (Fig. 1 参照) までの積分値は凹みの総面積 $S_t$  となる。

$$\int_0^{X_e} A(x) dx = S_t \quad \dots \dots \dots (32)$$

(31)式の $a$ は凹み形状を放物面と仮定した場合の形状係数であり、その誘導法は前報<sup>2)</sup>で示した。

酸素吸収に有効な凹み半径を $x_e$  とすると、 $x_e$  は(33)式から決定される。

$$\bar{N}_A \int_0^{x_e} A(x) dx = G_1/M_0 \quad \dots \dots \dots (33)$$

浴側での物質移動が律速段階となつてゐる場合には、吸収されない酸素が生じて、 $x_e > X_e$  となる場合も考えられるが、そのような場合には、 $x_e = X_e$  として計算する。

さて、脱ケイ素反応、および酸化鉄生成反応によつて

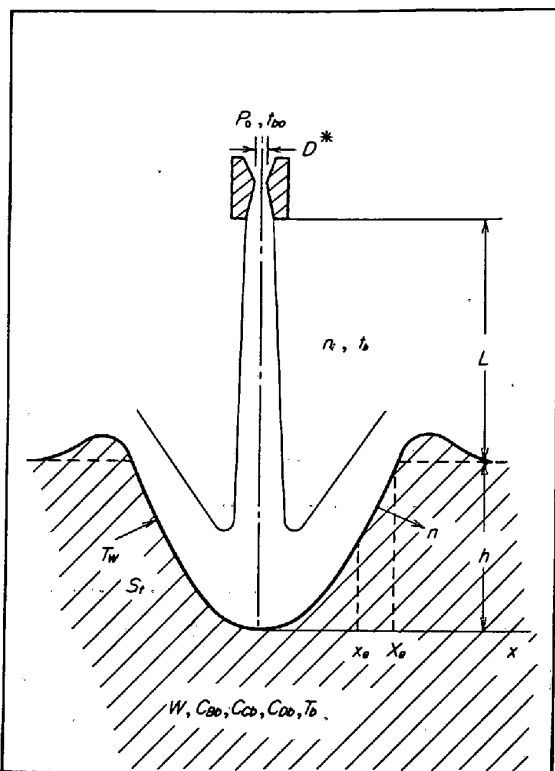


Fig. 1. Model of a cavity in LD converter.

生成するケイ酸や酸化鉄は、全部スラグ中へ移動すると考えると、それらの質量の操業時間 $\theta$ に伴う変化は(34)(35)式のように表わされる。

$$dW_{(SiO_2)}/d\theta = (1/2) \sigma_2 \bar{N}_A \cdot M_{SiO_2} \cdot \int_0^{x_e} A(x) dx \quad \dots \dots \dots (34)$$

$$dW_{(FeO)}/d\theta = \sigma_3 \bar{N}_A \cdot M_{FeO} \cdot \int_0^{x_e} A(x) dx \quad \dots \dots \dots (35)$$

なお、溶鋼およびスラグの質量変化は、それぞれ(36)(37)式のように表わされる。

$$W = -W_{(FeO)} \cdot M_{Fe} / M_{FeO} - W_{(SiO_2)} \cdot M_{Si} /$$

$$M_{SiO_2} - M_C \int_0^\theta \sigma_1 \bar{N}_A \int_0^{x_e} A(x) dx d\theta + F_{Sc}(\theta) \cdot W_{Sc} + F_{pig}(\theta) \cdot W_{pig} + W_0 \quad \dots \dots \dots (36)$$

$$W_S = W_{(SiO_2)} + W_{(FeO)} + W_{(CaO)} \quad \dots \dots \dots (37)$$

ただし、 $F_{Sc}(\theta)$ ,  $F_{pig}(\theta)$  は、それぞれスクラップ<sup>6)</sup>と冷銑の融解率<sup>7)</sup>を表わす時間関数である。界面での酸素は飽和濃度 $C_{Ai}$ になつてゐるとみなし、(38)式の反応の平衡定数から $C_{Ai}$ が求められる。



ここで、 $1600^\circ C$  近傍のエンタルピ、エントロピ変化 $\Delta H_{FeO}$ ,  $\Delta S_{FeO}$  が約 $2000^\circ C$  の温度でも変わらないものと考えると、 $C_{Ai}$  は凹み表面温度の関数として(39)式で表わされる。

$$C_{Ai} = \exp [2 \cdot 303 [\Delta H_{FeO}/R_1 \cdot (T_W + 273) - \Delta S_{FeO}/R_1]] / (1600) \dots \dots \dots (39)$$

## 2.2 LD転炉における熱収支

### 2.2.1 凹み表面温度 $T_W$

凹み界面で起こる脱炭反応、脱ケイ反応、酸化鉄生成反応などの反応熱の一部は鋼浴側に、残りはガス側に移動する。すなわち、これら諸反応による発熱速度  $q$  は、(40)式のように表わされ、

$$q = \bar{N}_A \cdot \int_0^{x_e} A(x) dx \cdot \{ \sigma_1 (-\Delta H_{CO}) + (1/2) \cdot \sigma_2 (-\Delta H_{SiO_2}) + \sigma_3 (-\Delta H_{FeO}) \} \dots \dots \dots (40)$$

(41)式のように浴側とガス側への伝熱速度  $q_L$  と  $q_G$  の和に等しくなる。

$$q = q_L + q_G = h_L (T_W - T_b) \cdot S_t + h_G (T_W - t_b) \cdot S_t \dots \dots \dots (41)$$

凹み表面温度  $T_W$  は、(41)式から(42)式のようにかける。

$$T_W = \frac{q + (h_L T_b + h_G t_b) \cdot S_t}{(h_G + h_L) \cdot S_t} \dots \dots \dots (42)$$

(39)式で表わした酸素飽和濃度  $C_{Ai}$  は、(42)式の  $T_W$  を使用して算出される。

### 2.2.2 生石灰溌化率

吹鍊に伴う鋼浴温度の変化を求める場合、石灰の溌化率を知る必要があるが、スラグの塩基度( $CaO/SiO_2$ )の変化、あるいは、脱リン、脱マンガン、脱硫反応の経過を解析する際にも、石灰の溌化率が必要になると推察される。

ここでは、 $(FeO) \cdot (CaO)$  の 2 成分系の融解開始線のグラフ<sup>8)</sup>を、転炉の実操業から得られた実測値<sup>9)~12)</sup>で補定して、生石灰の溌化量を求める。融解開始線を折れ線に分割し、 $V_1 \equiv [(CaO)/\{(CaO) + (FeO)\}]_{calc}$  を温度の関数として求めると次のようになる。

$$\left. \begin{aligned} T_b < 1200^{\circ}C &\text{ では } V_1 = 0, \\ 1200^{\circ}C \leq T_b < 1240^{\circ}C &\text{ では } \\ V_1 = 0.4(T_b - 1200)/100, \\ 1240^{\circ}C \leq T_b < 1250^{\circ}C &\text{ では } \\ V_1 = (1.40T_b - 1720)/100, \\ 1250^{\circ}C \leq T_b < 1290^{\circ}C &\text{ では } \\ V_1 = (0.25T_b - 282.5)/100, \\ 1290^{\circ}C \leq T_b < 1370^{\circ}C &\text{ では } \\ V_1 = (0.13T_b - 127.7)/100, \\ 1370^{\circ}C \leq T_b < 1465^{\circ}C &\text{ では } \\ V_1 = (0.23T_b - 264.7)/100, \\ 1465^{\circ}C \leq T_b < 2390^{\circ}C &\text{ では } \\ V_1 = (0.03T_b + 28.3)/100 \end{aligned} \right\} \dots \dots \dots (43)$$

さて、実際の転炉溌は $(CaO) \cdot (FeO)$  の 2 成分系でな

く、 $(SiO_2)$ 、 $(MnO)$ 、 $(P_2O_5)$  なども含まれる多成分系であるから、(43)式を補正するため、 $V_2 \equiv (\text{実測溌化率}) / ((43) \text{ 式から得られる溌化率}) = \{(CaO)/[(CaO) + (FeO)]\}_{obs} / \{(CaO)/[(CaO) + (FeO)]\}_{calc}$  を縦軸に、横軸に鋼浴温度をとつて図示すると Fig. 2 が得られるが、この曲線を最小二乗法で数式化すると次のようになる。

$$V_2 = -2.111 \times 10^{-8} T^3 + 9.745 \times 10^{-5} T^2 - 1.512 \times 10^{-1} T + 79.925 \dots \dots \dots (44)$$

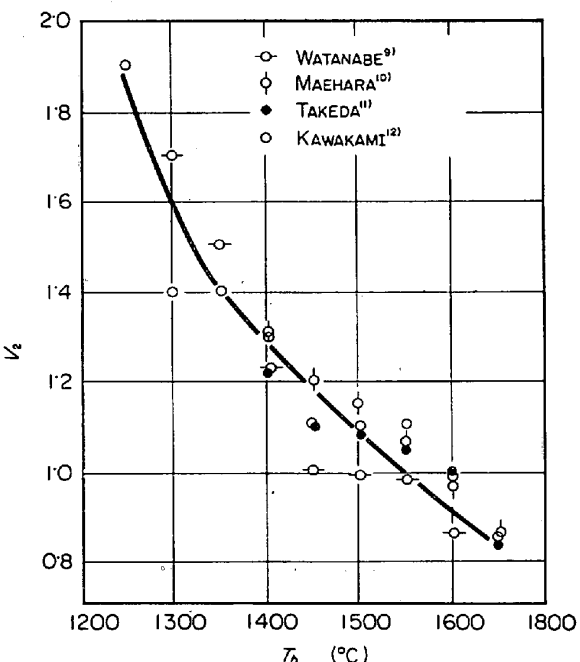


Fig. 2. Relation between  $V_2$  and bath temperature.

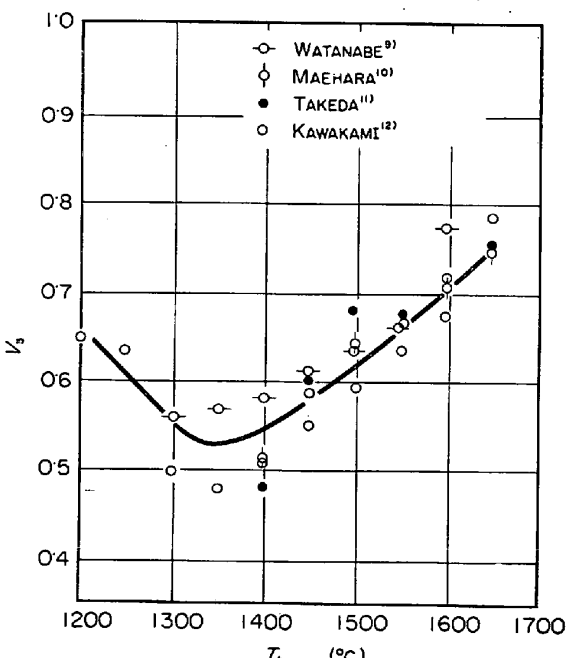


Fig. 3. Relation between  $V_3$  and bath temperature.

さらに、 $V_3 = \{[(\text{CaO}) + (\text{FeO})]/W_S\}_{\text{obs}}$  を縦軸に、鋼浴温度を横軸にとって表わすと Fig. 3 となるが、この曲線を数式化すると次のようになる。

$$V_3 = -1 \cdot 267 \times 10^{-8} T^3 + 5 \cdot 961 \times 10^{-5} T^2 - 9 \cdot 186 \times 10^{-2} T + 47 \cdot 050 \quad \dots \dots \dots (45)$$

そこで生石灰溶化量  $W_{(\text{CaO})}$  が、(46) 式から求められる。

$$W_{(\text{CaO})} = V_1 \cdot V_2 \cdot V_3 \cdot W_S \quad \dots \dots \dots (46)$$

### 2.2.3 炉体からの対流、放射伝熱

ここでは、炉体からの熱損失を、炉体外表面の鉄皮から大気への対流と放射による伝熱速度  $q_O$ 、および、鋼浴から炉口を通しての放射伝熱速度  $q_R$  に分けて求める。

$q_O$  は、炉の垂直壁面  $A_1$  と水平下向き壁面  $A_2$  からの熱損失として(47)式のように表わされる。

$$q_O = A_1 h_{C_1} (t_{wo} - t_R) + A_2 h_{C_2} (t_{wo} - t_R) + (A_1 + A_2) h_r (t_{wo} - t_R) \quad \dots \dots \dots (47)$$

ここで、 $A_1$ 、 $A_2$  は炉体形状の Fig. 4 から近似的に次のようにかける。

$$A_1 = \pi D_1 H_1, \quad A_2 = (\pi/4) D_1^2$$

垂直平面、水平下向き平面での自然対流の伝熱係数  $h_{C_1}$ 、 $h_{C_2}$  [kcal/m<sup>2</sup>·hr·°C] は、それぞれ(48)、(49)式で表わされる。

$$h_{C_1} = 1 \cdot 1 (\Delta t)^{1/3} \quad \dots \dots \dots (48) \text{ (13)}$$

$$h_{C_2} = 0 \cdot 9 (\Delta t / D_1)^{1/4} \quad (D_1: [\text{m}]) \quad \dots \dots \dots (49) \text{ (13)}$$

(47)式の放射伝熱係数  $h_r$  は、炉体表面温度  $t_{wo}$  と大気温度  $t_R$  を与えて、文献14) のグラフから推算することができる。一方、 $q_R$  は(50)式で表わされる。

$$q_R = \sigma \phi_{12} [\varepsilon_s (273 + T_b)^4 - (273 + t_R)^4] \quad \dots \dots \dots (50)$$

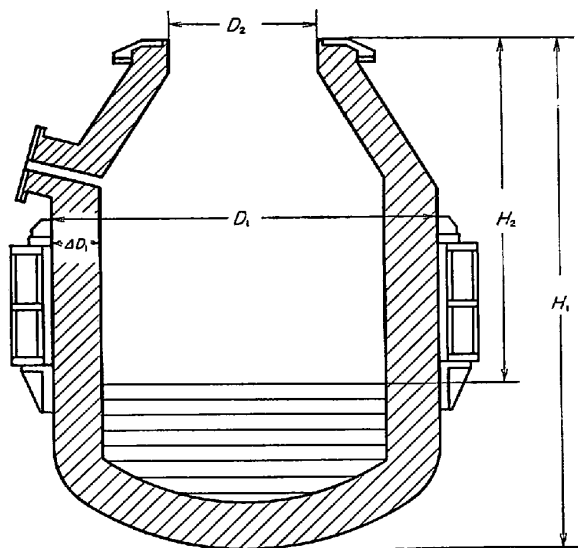


Fig. 4. Profile of LD converter.

ここで、 $\phi_{12}$  は総括吸収率であり、文献 15), 16) から次のように求められる。

$$\phi_{12} = 1 / \{ (1/F_{12}) + (1/\varepsilon_s - 1) \} \quad \dots \dots \dots (51)$$

$$F_{12} = \{ (R'_2/R'_1)^2 - F_{12} \} / \{ 1 + (R'_2/R'_1)^2 - 2F_{12} \} \quad (52)$$

$$F_{12} = \{ R'_1^2 + R'_2^2 + H_2^2 \}$$

$$- \sqrt{(R'_1^2 + R'_2^2 H_2^2)^2 - 4 R'_1^2 R'_2^2} \} / 2 R'_1^2 \quad \dots \dots \dots (53)$$

$$H_2 = H_1 - 4D_1 - W / \rho_L A_3 \quad \dots \dots \dots (54)$$

$$A_3 = (\pi/4) \cdot (D_1 - 2 \cdot 4D_1)^2 \quad \dots \dots \dots (55)$$

$$R'_2 = D_2 / 2 \quad \dots \dots \dots (56)$$

$$R'_1 = (D_1 - 2 \cdot 4D_1) / 2 \quad \dots \dots \dots (57)$$

### 2.2.4 吹鍊開始時の溶鋼温度

溶鋼、スラグ、および副剤はすべて同一温度にあるとして、吹鍊開始時の溶鋼平均温度  $T_{bi}$  を次のような熱収支から求める。まず、装入時に、炉内へに入る全熱量  $Q_{all}$  を(58)式のように表わす。

$$Q_{all} = W \cdot c_p Fe_m \cdot T_{ch} + (W_{pig} c_p pig + W_{CaCO_3} \\ \cdot c_p CaCO_3 + W_{CaO} \cdot c_p CaO + W_{Sc} \cdot c_p Sc \\ + W_{Fe_2O_3} \cdot c_p Fe_2O_3) \cdot t_R \quad \dots \dots \dots (58)$$

次に、 $CaCO_3 + C \rightarrow CaO + 2CO(g)$  なる反応が約900 °C の温度で起こり、吹鍊開始時にすでに、冷銑のうち質量分率  $\alpha_{pig}$  だけ溶解しており、冷銑はすべて均一温度  $T_{bi}$  となつているとすれば、吹鍊開始時における炉内の全熱量  $Q_{all}$  は次のようにかける。

$$Q_{all} = \{ (W + W_{pig} \cdot \alpha_{pig}) \cdot c_p Fe_m + W_{pig} (1 - \alpha_{pig}) \\ \cdot c_p pig + W_{Sc} \cdot c_p Sc + (W_{CaCO_3} \cdot M_{CaO} / M_{CaCO_3} \\ + W_{CaO}) \cdot c_p CaO + W_{Fe_2O_3} \cdot c_p Fe_2O_3 \} \cdot T_{bi} \\ + W_{CaCO_3} \cdot \{ c_p CaCO_3 - (M_{CaO} / M_{CaCO_3}) \cdot c_p CaO \} \\ \cdot (900) - W_{CaCO_3} \cdot (-\Delta H_{CaCO_3}) - W_{pig} \cdot \alpha_{pig} \\ \cdot (-\Delta H_{Fe}) \quad \dots \dots \dots (59)$$

そこで、(58)式と(59)式から  $T_{bi}$  は、次のように求められる。

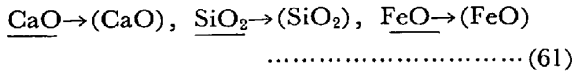
$$T_{bi} = \{ W \cdot c_p Fe_m \cdot T_{ch} + (W_{pig} c_p pig + W_{CaCO_3} \cdot c_p CaCO_3 \\ + W_{Sc} \cdot c_p Sc + W_{CaO} \cdot c_p CaO + W_{Fe_2O_3} \cdot c_p Fe_2O_3) \\ \cdot T_R - W_{CaCO_3} \cdot [c_p CaCO_3 - (M_{CaO} / M_{CaCO_3}) \\ \cdot c_p CaO] \cdot (900) + W_{CaCO_3} \cdot (-\Delta H_{CaCO_3}) + W_{pig} \\ \cdot \alpha_{pig} \cdot (-\Delta H_{Fe}) \} / \{ (W + W_{pig} \cdot \alpha_{pig}) \cdot c_p Fe_m + \\ W_{pig} (1 - \alpha_{pig}) \cdot c_p pig + (W_{CaCO_3} \cdot M_{CaO} / M_{CaCO_3} \\ + W_{CaO}) \cdot c_p CaO + W_{Fe_2O_3} \cdot c_p Fe_2O_3 + W_{Sc} \cdot c_p Sc \} \quad (60)$$

ここで、(60)式の右辺分母の各比熱は温度  $T_{bi}$  における平均比熱であり、(60)式は試行錯誤計算が必要となる。

### 2.2.5 溶鋼についての熱収支

凹み面で発生した反応熱のうち、溶鋼側への伝熱速度  $q_L$  と(61)式の反応に伴つて発生するスラグの混合熱

$q_{\text{mix}}$  を入熱とし、



生石灰、スクラップ、冷鉄の融解による伝熱速度  $q_{\text{CaO}}$ ,  $q_{\text{Sc}}$ ,  $q_{\text{pig}}$ , 鉄鉱石の分解による伝熱速度  $q_{\text{Fe}_2\text{O}_3}$ , 浴面から炉口を通しての放射伝熱速度  $q_R$ , 鉄皮外表面から大気への伝熱速度  $q_O$  および、浴面から炉内ガスへの対流伝熱速度  $q_W$  などを出熱として熱収支を行なうと、(62)式が得られる。

$$\frac{dT_b}{d\theta} = \frac{q_L + q_{\text{mix}} - q_{\text{CaO}} - q_{\text{Sc}} - q_{\text{pig}} - q_{\text{Fe}_2\text{O}_3} - q_R - q_W - q_O}{W_{\text{Fe}_2\text{O}_3} \cdot C_{p\text{Fe}_2\text{O}_3} + W_S \cdot C_{pS} + Q_S} \quad \dots \quad (62)$$

ここで、 $Q_S$  は未溶解の固体の熱容量であり、取り扱いを簡単化するために、鉄鉱石が温度  $T'$  になると瞬間に分解すると考えれば、次のように表わされる。

$$Q_S = W_{\text{pig}} \cdot \{1 - F_{\text{pig}}(\theta)\} \cdot c_{p\text{pig}} + W_{\text{Sc}} \cdot \{1 - F_{\text{Sc}}(\theta)\} \cdot c_{p\text{Sc}} + W_{\text{Fe}_2\text{O}_3} \cdot c_{p\text{Fe}_2\text{O}_3} \cdot \{1 - u(T_b - T')\} + (W_{\text{CaO}} - W_{\text{CaO}}) \cdot c_{p\text{CaO}} \quad \dots \quad (63)$$

ここで、 $u(T_b - T')$  はステップ関数であり、 $q_{\text{mix}}$ ,  $q_{\text{CaO}}$ ,  $q_{\text{Sc}}$ ,  $q_{\text{pig}}$ ,  $q_{\text{Fe}_2\text{O}_3}$  は次のように表わされる。

$$q_{\text{mix}} = (-\Delta H_{\text{FeO}}) \cdot dW_{\text{FeO}}/d\theta + (-\Delta H_{\text{SiO}_2}) \cdot dW_{\text{SiO}_2}/d\theta + (-\Delta H_{\text{CaO}}) \cdot dW_{\text{CaO}}/d\theta \quad \dots \quad (64)$$

$$q_{\text{CaO}} = (-\Delta H_{\text{CaO}}) \cdot dW_{\text{CaO}}/d\theta \quad \dots \quad (65)$$

$$q_{\text{Sc}} = (-\Delta H_{\text{Fe}}) \cdot \{dF_{\text{Sc}}(\theta)/d\theta\} \cdot W_{\text{Sc}} \quad \dots \quad (66)$$

$$q_{\text{pig}} = (-\Delta H_{\text{Fe}}) \cdot \{dF_{\text{pig}}(\theta)/d\theta\} \cdot W_{\text{pig}} \quad \dots \quad (67)$$

$$q_{\text{Fe}_2\text{O}_3} = (-\Delta H_{\text{Fe}_2\text{O}_3}) \cdot W_{\text{Fe}_2\text{O}_3} \cdot \delta(T_b - T') \quad \dots \quad (68)$$

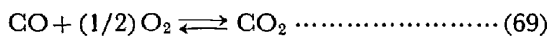
ここで、 $\delta(T_b - T')$  は  $\delta(0) = 1$ ,  $\delta(x \neq 0) = 0$  なる関数である。(60)式から  $T_{bi}$  を求め、これを初期条件にして(62)式を解けば、浴内温度  $T_b$  の時間的变化が求められる。

### 2.2.6 スクラップの溶解

ここでは、長谷川ら<sup>9)</sup>がR-Iを使用した実測値に基づいて、スクラップの溶解率を示す関数  $F_{\text{Sc}}(\theta)$  を求める。スクラップは投入と同時にメタルにより加熱されてメタルと同じ温度になり、吹鍊の経過に伴つて溶鋼とともに温度が上昇すると考える。

### 2.3 排ガスの流量、組成および温度の解析

ノズルから溶鋼に吹きつけられた酸素ガスは、その一部または全部が溶鋼に吸収され、そのうち脱炭反応に消費された酸素は一酸化炭素の形で炉内ふん囲気中に放出される。炉内では(69)式の可逆反応が起こり、瞬間に平衡になるものとする。



炉内ふん囲気中のガスは完全混合で、吹鍊時間を通じて容積一定であるから、過剰のガスが炉内平均のガス温度でもつて炉口から排出される。

炉内ガス全部についての熱収支、および各成分（酸素、一酸化炭素、二酸化炭素、窒素）について物質収支を行なうと(70)～(74)式となる。

$$(n_A'c'_{pA'} + n_Ec'_{pE} + n_Fc'_{pF} + n_Gc'_{pG})dt_b/d\theta = q_t - (F_{\text{out}}/n_V) \cdot (n_A'c'_{pA'} + n_Ec'_{pE} + n_Fc'_{pF} + n_Gc'_{pG}) \cdot t_b + R_A \cdot (-\Delta H_{\text{CO}}) \quad \dots \quad (70)$$

$$dn_A'/d\theta = F_A' - F_{\text{out}} \cdot n_A'/n_V - R_A/2 \quad \dots \quad (71)$$

$$dn_E/d\theta = F_E - F_{\text{out}} \cdot n_E/n_V - R_A \quad \dots \quad (72)$$

$$dn_F/d\theta = -F_{\text{out}} \cdot n_F/n_V + R_A \quad \dots \quad (73)$$

$$dn_G/d\theta = -F_{\text{out}} \cdot n_G/n_V \quad \dots \quad (74)$$

ここで、 $F_A'$  は凹み界面での反応に消費されなかつた酸素ガスのモル流量であり、(75)式で表わされる。

$$F_A' = (G_1/32) - (\bar{N}_A/2) \cdot \int_0^{x_e} A(x) dx [ \text{kg mol/sec} ] \quad \dots \quad (75)$$

$F_E$  は脱炭反応により発生する一酸化炭素のモル流量であり、(76)式のようにかける。

$$F_E = \sigma_1 \cdot \bar{N}_A \cdot \int_0^{x_e} A(x) dx [ \text{kg mol/sec} ] \quad \dots \quad (76)$$

$F_{\text{out}}$  は炉口から流出するガスのモル流量である。 $q_t$  は炉内ふん囲気のガスの全伝熱速度であり、(77)式で表わされる。

$$q_t = q_G + q_W + q_{O_2} \quad \dots \quad (77)$$

ここで、 $q_G$  は凹み面からの伝熱速度、 $q_W$  はスラグ面、炉内壁面からの伝熱速度、 $q_{O_2}$  は送入された酸素ガスの流入に伴う伝熱速度であり、(78)式で表わされる。

$$q_{O_2} = \int_0^{t_{b1}} G_1 c_p A dt \quad \dots \quad (78)$$

$n_V$  は炉内ガスふん囲気中の各ガス成分のモル数の和として(79)式で表わされ、理想気体とみなして(80)式から決定される。

$$n_A' + n_E + n_F + n_G = n_V \quad \dots \quad (79)$$

$$n_V = P_c V_t / R(t_b + 273) \quad \dots \quad (80)$$

なお、(69)式の反応で化学平衡が成立しているとの仮定から、 $n_A$ ,  $n_E$ ,  $n_F$  の間には(81)式の関係がかける。

$$n_F/n_E \cdot \sqrt{n_A'} = K \quad \dots \quad (81)$$

$$K = \exp\{-[\Delta H_{\text{CO}} - \Delta S_{\text{CO}} \cdot (t_b + 273)]\}$$

$$/ R_1 \cdot (t_b + 273) \} \quad \dots \quad (82)$$

(70)～(74)式と(79)～(82)式から、 $R_A$  および  $F_{\text{out}}$  は次のように表わされる。

$$R_A = (E - A \cdot D) / (D \cdot B + C) \quad \dots \quad (83)$$

$$F_{\text{out}} = A + B \cdot R_A \quad \dots \quad (84)$$

ただし、 $A$ ,  $B$ ,  $C$ ,  $D$ ,  $E$  はそれぞれ次のようになる。

$A =$ 

$$\frac{F \cdot n_V (F_{A'} + F_E) \cdot R \cdot (t_b + 273)^2 + P_c \cdot V_t \cdot q_t \cdot n_V}{F \cdot n_V \cdot R \cdot (t_b + 273)^2 + P_c \cdot V_t \cdot t_b \cdot F}$$

[ kg mol/sec] ..... (85)

 $B =$ 

$$\frac{(1/2) \cdot F \cdot n_V \cdot R \cdot (t_b + 273)^2 - P_c \cdot V_t \cdot (-\Delta H_{CO}) \cdot n_V}{F \cdot n_V \cdot R \cdot (t_b + 273)^2 + P_c \cdot V_t \cdot t_b \cdot F}$$

[ - ] ..... (86)

$$C = \frac{1}{K} + \sqrt{\frac{n_A'}{n_A}} + \frac{n_E}{4\sqrt{n_A'}} + \frac{\Delta H_{CO}^2 \cdot n_E \cdot \sqrt{n_A'}}{F \cdot (t_b + 273)^2 \cdot R_1}$$

[ kg mol<sup>1/2</sup>] ..... (87)

$$D = \frac{-n_F}{n_V \cdot K} + \frac{-t_b (-\Delta H_{CO}) n_E \sqrt{n_A'}}{(t_b + 273)^2 \cdot R_1 \cdot n_V} + \frac{3n_E \sqrt{n_A'}}{2n_V}$$

[ kg mol<sup>1/2</sup>] ..... (88)

$$E = F_E \sqrt{n_A'} + \frac{F_A' \cdot n_E}{2\sqrt{n_A'}} + \frac{n_E \cdot \sqrt{n_A'} \cdot q_t}{F(t_b + 273)^2} - \frac{(-\Delta H_{CO})}{R_1}$$

[ kg mol<sup>3/2</sup>/sec] ..... (89)ここで、 $F$  は(90)式で定義されるものである。

$$F \equiv n_{A'} c' p_{A'} + n_E c' p_E + n_F c' p_F + n_G c' p_G$$

[kcal/°C] ..... (90)

(84)式から  $F_{out}$  が求められるから各成分ガスの排出モル数は

$$F_{A'out} = F_{out} \cdot n_{A'}/n_V, F_{Eout} = F_{out} \cdot n_E/n_V,$$

$$F_{Fout} = F_{out} \cdot n_F/n_V, F_{Gout} = F_{out} \cdot n_G/n_V$$

で表わされる。

### 3. LD転炉の数学的モデル

#### 3.1 モデルの概要

2. で示した解析結果に、凹みの形状とその面積を算

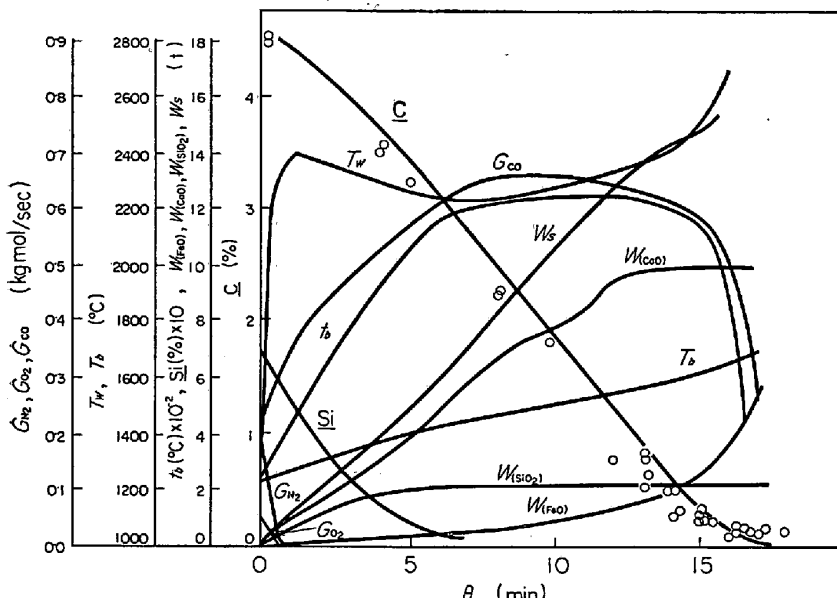


Fig. 5. Calculated results on the variations of process variables in 150 t-LD converter.

出する理論式<sup>2)</sup>を組み合わせた数学的モデルに基づいて LD 転炉の装置条件（炉体プロフィール、ノズルの径と孔数）および操作変数（装入物の量、温度、組成、および、タンク圧）を与えた場合、吹鍊経過とともに変化するプロセス変数（浴内各成分濃度、溶銅温度、排ガスの量、温度、組成、スラグの組成）をディジタル電子計算機を使用して算出することができる。

すなわち、まず、LD 転炉の装置条件、操作変数から凹みの形状、面積、および、(60)式から吹鍊開始時の溶銅温度  $T_{bi}$  を求める。次に(29), (30), (34), (35), (62), (70)～(74)式の10個の微分方程式と(36), (37), (46)式の3個の代数方程式を連立させて Runge-Kutta-Gill 法で数値計算を行ない、浴内炭素濃度  $C_{Bb}$ 、ケイ素濃度  $C_{Cb}$ 、スラグ中の ( $SiO_2$ ) と ( $FeO$ ) の質量  $W_{SiO_2}$ 、 $W_{FeO}$ 、鋼浴温度  $T_b$ 、炉内ふん囲気中のガス温度  $t_b$ 、一酸化炭素、酸素、二酸化炭素、窒素のモル数  $n_E, n_{A'}$ 、 $n_F, n_G$  および溶銅の質量  $W$ 、スラグ質量  $W_s$ 、生石灰滓化量  $W_{CaO}$  の吹鍊時間の経過に伴う変化を求める。

各成分の排ガス中のモル流量は得られた  $n_E, n_{A'}$ 、 $n_F, n_G$  を採用して(91)式から計算できる。

#### 3.2 計算結果

岡崎、松野ら<sup>17)</sup>による 150 t 転炉のデータに基づいて計算した結果の一例を Fig. 5 に示す。

計算に採用した装置条件、操作変数およびパラメータを Table 1 に示す。次に、パラメータは上述の計算と同じにして、Table 2 に示す操業条件に基づいて、60 t 転炉で仮想的な操業を行なつた場合の計算結果を Fig. 6 に示した。なお、この 60 t 転炉でタンク圧  $P_0$  だけ 7.0 atm と 7.6 atm とに変化させた場合の浴内炭素濃度、スラグ中の酸化鉄量浴内温度の変化を Fig. 7 に示した。

#### 3.3 考 察

Fig. 6 では、吹鍊開始から約 2 min 後に凹み表面温度は約 2000°C の一定値に達し、脱ケイ素反応、脱炭反応に伴つて排ガス中の一酸化炭素量、排ガス温度は急激な上昇を示す。吹鍊開始後 5 min から 10 min の脱炭最盛期には鋼浴温度の上昇とともに生石灰滓化反応が進行し、スラグ量は増加する。

なお、この時期には脱ケイ素反応がすでに終わっているので、スラグ中のケ

Table 1. Data for numerical calculation.

Apparatus condition					
Diameter of throat		Profile of converter			
35.4 mm $\phi \times 4$		$D_1(\text{m})$	$D_2(\text{m})$	$4D_1(\text{m})$	$H_2(\text{m})$
6.66	2.6	0.925	9.06		
Operating variables					
Back pressure	Lance height	Temperature of pig iron	Mass of pig iron	Mass of scrap	Mass of fluxes and coolants
$P_0(\text{atm})$	$L(\text{m})$	$T_{ch}(\text{°C})$	$W_0(\text{t})$	$W_{Sc}(\text{t})$	(t)
12	1.5	1300	150.0	0.0	18
Parameter					
$k_1$	$k_2/k_1$	$k_3 C_{Db}/k_1$	$t_e$	$h_L$	$h_G$
kg(Fe)/kg mol(C) · sec	kg mol(C)/kg mol(Si)	kg mol(C)/kg(Fe)	sec	kcal/m <sup>2</sup> · sec · °C	kcal/m <sup>2</sup> · sec · °C
$1 \times 10^{12}$	15	$1 \times 10^{-4}$	$1 \times 10^{-5}$	12	0.6

Table 2. Data for numerical calculation.

Apparatus condition					
Diameter of throat		Profile of converter			
30.0 mm $\phi \times 3$		$D_1(\text{m})$	$D_2(\text{m})$	$4D_1(\text{m})$	$H_2(\text{m})$
5.0	2.0	0.9	8.0		
Operating variables					
Back pressure	Lance height	Temperature of pig iron	Mass of pig iron	Mass of scrap	Mass of fluxes and coolants
$P_0(\text{atm})$	$L(\text{m})$	$T_{ch}(\text{°C})$	$W_0(\text{t})$	$W_{Sc}(\text{t})$	(t)
7	1.5	1400	64	1	8.0
Parameter					
$k_1$	$k_2/k_1$	$k_3 C_{Db}/k_1$	$t_e$	$h_L$	$h_G$
kg(Fe)/kg mol(C) · sec	kg mol(C)/kg mol(Si)	kg mol(C)/kg(Fe)	sec	kcal/m <sup>2</sup> · sec · °C	kcal/m <sup>2</sup> · sec · °C
$1 \times 10^{12}$	15	$1 \times 10^{-4}$	$1 \times 10^{-5}$	12	0.6

イ酸量は6 min頃からほとんど一定となるが、生石灰の滓化が起こるためスラグの塩基度 $(\text{CaO})/(\text{SiO}_2)$ は高くなる。吹鍊時間が10 min以上になると脱炭反応は最盛期を過ぎて排ガス量が減少はじめ、排ガス温度も低下してくる。この頃から酸化鉄生成反応が急速になり、石灰石はその全量が滓化しおわる。吹鍊時間が約15 minになると、脱炭反応速度が急速に減少し、酸化鉄生成反応が急速に進行して、凹み表面温度が増加はじめ、銅浴温度もその上昇率が大となる。

脱炭曲線については、実測値は吹鍊末期まで計算曲線より低くなつてい る。これは、計算に当たり詳細な副材 装入割合がわからないため、石灰成分 はすべて生石灰 $[\text{CaO}]$ の形で投入され、石灰 石 $[\text{CaCO}_3]$ はないものとして(92)式の反応に

$$\text{CaCO}_3 + \underline{\text{C}} \rightarrow \text{CaO} + 2\text{CO(g)} \cdots (92)$$

よる脱炭および熱変化を無視したこと、および 実際操業でみられるような吹鍊途中での副剤の 分割投入のかわりに、副剤の全量が吹鍊初期に 投入されたものとして計算したために、吹鍊初 期での溶銅温度が低く算出され、そのため脱炭 反応の遅れを生じたものと考えられる。なお この計算ではランス高さ、およびタンク圧は吹 鍊期間を通じて一定としているが、計算結果は 実測値の変化の様子をほぼ表現しているよう に 考えられる。

150 t 転炉および60 t 転炉についての計算 結果(Fig. 5, Fig. 6)から判断すると、計算に 採用した数学的モデルの未知パラメータは、ほ ぼ妥当な数値であると推察される。

次に、吹鍊圧を変化させた場合、プロセス変数にど のような影響が生じるかを調べた計算結果(Fig. 7)から、 吹鍊圧の増加により送酸量が増加し、脱炭反応速度およ び酸化鉄生成速度が増大し、銅浴温度は高くなる傾向が 認められる。

#### 4. 結 言

装置形状、操作条件が与えられた場合、溶銅温度、排ガスの組成と温度と流量、浴内炭素やケイ素の濃度、スラグ組成などのプロセス変数を算出できるようなLD転炉の数学的モデルを展開し、150 t 転炉についての計算

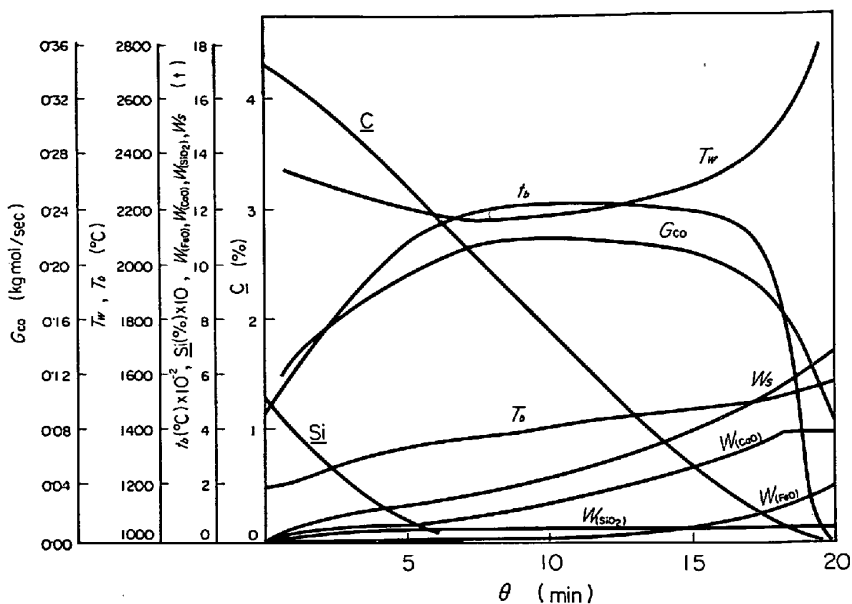


Fig. 6. Calculated results on the variations of process variables in 60 t-LD converter.

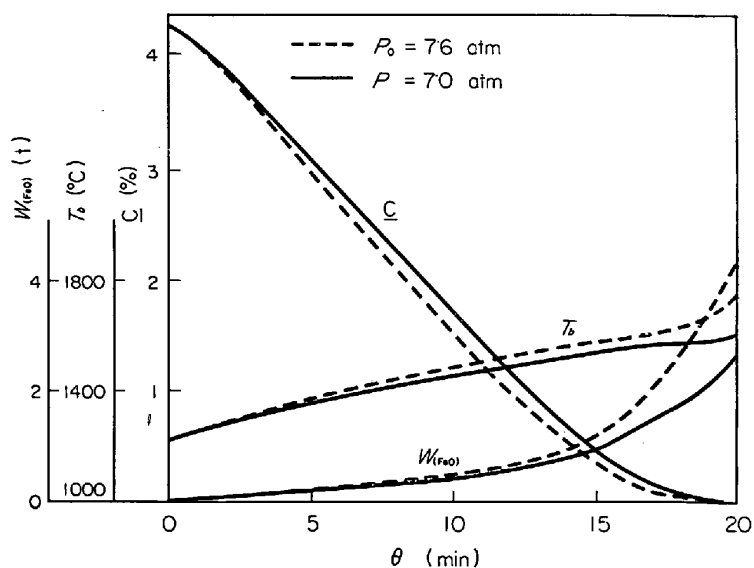


Fig. 7. Effects of back pressure on the variations of C,  $T_b$  and  $W_{\text{FeO}}$ .

結果と実操業でのデータとを比較検討した結果、このモ デルによつて操業結果をかなり満足に予知できることが わかつた。

なお、60 t 転炉の仮想的な操業条件下の場合について も計算したが、その計算結果はほぼ妥当なものと推察され、この種の仮想操業の計算を行なうことにより、LD 転炉の操業改善の基礎資料を得ることができよう。

数学的モデルによる計算結果と実測結果との一致は、 実際操業での詳細な操業条件（実際の副剤投入法、ランス高さとタンク圧の変化）に従つて計算すれば、さらに よくなるものと考えられる。

(謝辞) 本研究の遂行にあたり、とくに LD 転炉の実操業について多くの示唆と参考資料の提示を戴いた種々の製鉄所の方々の御厚意に深く感謝します。なお計算の進行にあたり、研究室の佐々木恵一君(現在、住友金属工業(株))と伊東修三君の助力に謝意を述べる。

## 記 号

$A_1$ : 炉体側面の鉄皮の表面積	[m <sup>2</sup> ]
$A_2$ : 炉体底面の鉄皮の表面積	[m <sup>2</sup> ]
$A_3$ : 炉内水平断面積	[m <sup>2</sup> ]
$a$ : 凹み形状係数	[1/m]
$c_j$ : 界面での微小な溶鋼素片内での $j$ 成分の濃度	[kg mol(j)/kg(Fe)]
$c_{pj}$ : $j$ 成分の平均比熱	[kcal/kg(j)·°C]
$c'_{pj}$ : $j$ 成分の平均比熱	[kcal/kg mol(j)·°C]
$D$ : 分子拡散係数	[m <sup>2</sup> /sec]
$D_1$ : 炉口径	[m]
$AD_1$ : 炉壁厚さ	[m]
$D_2$ : 炉胸径	[m]
$D_j$ : 鋼浴中での $j$ 成分の分子拡散係数	[m <sup>2</sup> /sec]
$F_{12}$ : 放射の直接到達率	[—]
$\bar{F}_{12}$ : 無限回反射を考慮した到達率	[—]
$F_{out}$ : 排ガスの全モル流量	[kg mol/sec]
$F_{pig}(\theta)$ : 冷銑の融解率関数	[—]
$F_{Sc}(\theta)$ : スラグ成分の融解率関数	[—]
$G_1$ : 酸素ガス質量流量	[kg/sec]
$H_1$ : 炉高	[m]
$H_2$ : 炉口と鋼浴表面間の距離	[m]
$\Delta H_j$ : $j$ 成分の融解および反応による エンタルピ変化	[kcal/kg(j)]
$h_{C_1}$ : 垂直面での自然対流伝熱係数	[kcal/m <sup>2</sup> ·sec·°C]
$h_{C_2}$ : 水平面での自然対流伝熱係数	[kcal/m <sup>2</sup> ·sec·°C]
$h_G$ : ガス側熱伝達係数	[kcal/m <sup>2</sup> ·sec·°C]
$h_L$ : 鋼浴側熱伝達係数	[kcal/m <sup>2</sup> ·sec·°C]
$h_r$ : 放射伝熱係数	[kcal/m <sup>2</sup> ·sec·°C]
$K$ : (69)式の反応での平衡定数	[1/kg mol <sup>1/2</sup> ]
$k_1$ : 脱炭反応速度定数	[kg(Fe)/kg mol(C)·sec]
$k_2$ : 脱ケイ素反応速度定数	[kg(Fe)/kg mol(Si)·sec]
$k_3$ : 酸化鉄生成反応速度定数	[kg(Fe)/kg mol(Fe)·sec]
$M_j$ : $j$ 成分の分子量	[kg/kg mol]
$N_A$ : 吸収酸素モル流束	[kg mol(O)/m <sup>2</sup> ·sec]
$\bar{N}_A$ : 時間平均吸収酸素モル流束	

$n$ : 鋼浴面に垂直な液方向距離	[m]
$n_j$ : 炉内ガスふん囲気中 $j$ 成分のモル数	[kg mol]
$n_V$ : 炉内に存在するガスのモル数	[kg mol]
$P_c$ : 炉内ガス圧力	[atm]
$P_0$ : タンク圧	[atm]
$Q_{all}$ : 装入原料の全熱エネルギー	[kcal]
$Q_s$ : 未溶解固体の熱容量	[kcal/kg]
$q$ : 脱炭、脱ケイ素、酸化鉄生成反応による 発熱速度	[kcal/sec]
$q_{CaO}$ : 生石灰活性化に伴う伝熱速度	[kcal/sec]
$q_{Fe_2O_3}$ : 鉄鉱石分解に伴う伝熱速度	[kcal/sec]
$q_{jout}$ : 排ガス中の $j$ 成分のモル流量	[kg mol/sec]
$q_G$ : 凹み面でガス側への伝熱速度	[kcal/sec]
$q_L$ : 凹み面で鋼浴側への伝熱速度	[kcal/sec]
$q_O$ : 炉体外周の鉄皮から大気への伝熱速度	[kcal/sec]
$q_{O_2}$ : 送酸ガスの熱エネルギー	[kcal/sec]
$q_{mix}$ : スラグ成分の混合による発熱速度	[kcal/sec]
$q_t$ : ガス側への総括伝熱速度	[kcal/sec]
$q_{pig}$ : 冷銑の融解に伴う伝熱速度	[kcal/sec]
$q_R$ : 湯面から炉口を通しての放射伝熱速度	[kcal/sec]
$q_W$ : 炉内壁、スラグ表面から炉内ガスへの 伝熱速度	[kcal/sec]
$R, R_1$ : 気体定数	[l·atm/mol·°C], [kcal/kg mol·°C]
$R_A$ : (69)式の反応によるモル数変化速度	[kg mol/sec]
$S_t$ : 凹み表面積	[m <sup>2</sup> ]
$\Delta S_{CO}$ : (69)式の反応によるエントロピ変化	[kcal/mol·°C]
$\Delta S_{FeO}$ : (38)式の反応によるエントロピ変化	[kcal/mol·°C]
$T'$ : 鉄鉱石、スケールの分解温度	[°C]
$T_b$ : 溶鋼本体の温度	[°C]
$T_{bi}$ : 吹鍊開始時の溶鋼温度	[°C]
$T_w$ : 溶鋼の凹み表面温度	[°C]
$T_{ch}$ : 溶銑装入温度	[°C]
$t$ : 接触時間、ガス温度	[sec], [°C]
$t_e$ : 微小な溶鋼素片の凹み表面平均滞留時間	[sec]
$t_b$ : ガス流本体の温度	[°C]
$t_R$ : 室温	[°C]
$t_{wo}$ : 炉外表面の鉄皮温度	[°C]
$V_t$ : 炉内ガスの体積	[m <sup>3</sup> ]

$W$ : 溶鋼の質量	[kg]
$W_j$ : $j$ 成分の質量	[kg]
$W_0$ : 装入溶鉄の質量	[kg]
$X_e$ : 凹み半径	[m]
$x_e$ : 有効凹み半径	[m]
$\alpha_{\text{pig}}$ : 吹鍊開始時の冷銑融解率	[—]
$\beta, \bar{\beta}$ : (20)式, (32)式による反応係数	[—]
$\delta(X)$ : $\delta(0)=1$ , $\delta(X \neq 0)=0$ なる関数	[—]
$\epsilon_s$ : スラグの黒度	[—]
$\theta$ : 吹鍊時間	[sec]
$\rho_L$ : 溶鋼の密度	[kg/m <sup>3</sup> ]
$\sigma$ : ステファン・ボルツマン定数	[kcal/m <sup>2</sup> sec °K <sup>4</sup> ]
$\sigma_1$ : 脱炭反応への酸素分配比	[—]
$\sigma_2$ : 脱ケイ反応への酸素分配比	[—]
$\sigma_3$ : 酸化鉄生成反応への酸素分配比	[—]
$\phi_{12}$ : 総括吸収率	[—]

## 添字

$A$  : [O],  $A'$  : O<sub>2</sub>,  $B$  : C,  $C$  : Si,  $D$  : Fe,  $E$  : CO,  
 $F$  : CO<sub>2</sub>,  $G$  : N<sub>2</sub>,  $b$  : 鋼浴およびガス本体,  $i$  : 鋼浴.  
 ガス接触界面, sat : 飽和状態, (CaO) : 漚化石灰,  
 Fe<sub>m</sub> : 溶鋼, (FeO) : スラグ中の酸化鉄, pig : 冷銑,  
 Sc : スクラップ, S : スラグ, (SiO<sub>2</sub>) : スラグ中のケ  
 イ酸, ( ) 記号は重量を示す.

## 文 献

- 1) 鞭, 大槻, 浅井: 鉄と鋼, 53 (1967) 3, p. 424
- 2) 大槻, 鞭: 鉄と鋼, 53 (1967) 7, p. 794
- 3) D. W. van KREVELEN and P. J. HOFLIJZER: Rec. Trav. Chim., 67 (1948), p. 563
- 4) 恩田, 佐田: 化学工場, 10 (1966) 3, p. 107
- 5) P. V. DANCKWERTS: Trans. Faraday Soc., 46 (1950), p. 300
- 6) 長谷川, 二上, 松田, 小谷野, 安居: 鉄と鋼, 53 (1967) 3, p. 304
- 7) 大矢, 古垣, 松永, 富永, 宮川, 野村: 鉄と鋼, 51 (1965) 10, p. 1925
- 8) D. C. HILTY, R. W. FARLEY and D. J. GIRARDI: Electric Furnace Steelmaking, Volume 11, Theory and Fundamentals, (1963), p. 186, Fig. 17-5 [Interscience]
- 9) 渡辺: 製鋼法テキスト, (1965), p. 175
- 10) 前原: 製銑, 製鋼, (1963), p. 324 [朝倉]
- 11) 武田: 鉄と鋼, 48 (1962) 9, p. 1085
- 12) 川上, 藤井, 内堀: 鉄と鋼, 52 (1966) 3, p. 380
- 13) 日本学術振興会, 日本鉄鋼協会編: 鉄鋼熱計算用数値, (1966), p. 45 [日刊工業新聞]
- 14) J. H. PERRY: Chemical Engineer's Handbook, (1963), p. 10-13, Fig. 10-10 [McGraw-Hill]
- 15) 矢木, 国井: 工業窯炉, (1953), p. 46 [共立]
- 16) R. SCHUHMAN: Metallurgical Engineering, (1952), p. 229 [Addison-Wesley]
- 17) 岡崎, 松野, 岡野: 鉄と鋼, 51 (1965) 10, p. 1922